CHAPITRE II: HYDRODYNAMIQUE DES LIQUIDES.

II.1 Hydrodynamique des liquides parfaits :

L'hydrodynamique des liquides consiste à étudier le mouvement des particules liquides soumises à un système de forces. Dans l'hydrodynamique les forces de compressibilité sont négligées. Si les forces dues à la viscosité ne manifestent pas (force de frottement = 0), il n'y a pas donc de mouvement relatif entre les particules de liquides, on parle alors de l'hydrodynamique des liquides parfaits.

II.1.1 Equation de la dynamique des liquides parfaits (Equation d'EULER) :

En hydrodynamique, il suffit d'ajouter au second membre a l'équation fondamentale de l'hydrostatique des liquides, qui est la force d'inertie par l'unité de masse, c à d au signe négatif, l'accélération absolue soit -a, ce qui conduit à l'équation fondamentale de l'hydrodynamique des liquides parfaits.

$$\frac{1}{\rho} \overrightarrow{gradP} = \vec{F} - \vec{a} \dots II.1$$

Cette équation vectorielle projetée sur les trois axes fournis les trois équations sullantes:

Equation de Bernoulli:

Soit l'écoulement permanant d'un liquide parfait et incompressible soumis au champ gravitationnel (champ de pesanteur); le long d'une ligne de courant confondue avec la trajectoire. (Écoulement unidimensionnel), l'équation de Bernoulli s'écrit comme suit :

$$z + \frac{P}{\varpi} + \frac{V^2}{2g} = H = Cte \dots II.2.$$

Cette équation est homologue à celle obtenue en hydrostatique, sauf le terme $\frac{V^2}{2a}$ est plus, qui représente la hauteur de la vitesse (m).

→L'équation de Bernoulli est valable en tout point du fluide incompressible en mouvement permanant et ir-rotationnel et la somme des thermes reste constante le long d'une ligne de courant.

→ *Représentation graphique*:

$$Z + \frac{P}{\varpi} + \frac{V^2}{2g} = H = C$$

Z: côte du point (m).

 $\frac{P}{\varpi}$: Hauteur due à la pression (m).

 $\frac{V^2}{2g}$: Hauteur due à la vitesse (m).

H: charge totale (m).

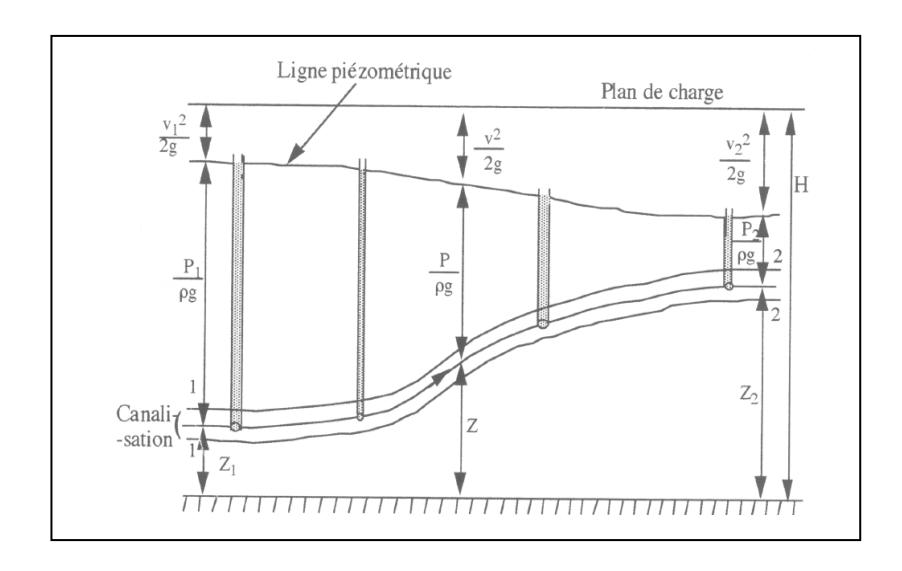


Fig. (II.1): Représentation graphique de l'équation de Bernoulli pour un liquide parfait.

- La ligne reliant les points C_1 et C_2 est la ligne de charge qui à pour un liquide de fluidité parfaite est horizontale.
- La ligne reliant les points A₁ et A₂ est la ligne piézométrique.

II.1.2. Application du théorème de Bernoulli :

> Tube de pito:

On considère un liquide en écoulement permanant dans une canalisation, et deux tubes plongeant dans le liquide, l'un débouchant en A face au courant, et l'autre en B, le liquide à la même vitesse V qui dans la canalisation et la pression est la même que celle du liquide $P_B = P$

En A, point d'arrêt, V = 0 et $P = P_A$ (D'après le théorème de Bernoulli)

$$Z_A + \frac{P_A}{\varpi} + \frac{{V_A}^2}{2g} = Z_B + \frac{P_B}{\varpi} + \frac{{V_B}^2}{2g}$$

$$\Rightarrow \frac{P_A}{\varpi} = \frac{P_B}{\varpi} + \frac{V^2}{2g} \Rightarrow P_A = P + \frac{1}{2}\rho V^2$$

$$\Rightarrow \frac{1}{2}\rho V^2 = P_A - P \Rightarrow \frac{1}{2}\rho V^2 = \rho g h$$

$$\Rightarrow h = \frac{1}{2} \frac{V^2}{g} \Rightarrow h = \frac{V^2}{2g}$$

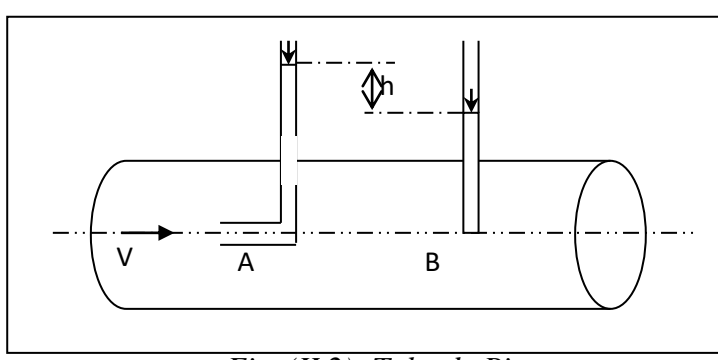


Fig. (II.2):Tube de Pito

Donc d'après la Fig. (II.2) la différence de nIIeau h c'est la hauteur due à la vitesse V.

Les vitesses totales sont déterminées à l'aide du tube de Pito suIIant la formule suIIante:

$$V = k\sqrt{2gh}$$
II.3

Où k c'est un coefficient de correction déterminé expérimentalement.

> Tube de Venturi '' Phénomène de Venturi'':

Une conduite de section principale S_A, subit un étranglement en B ou sa section S_B. La vitesse d'un fluide augmente dans l'étranglement donc sa pression se diminue $V_B > V_A \implies P_B < P_A$.

Le théorème de Bernoulli s'écrit ici:

$$Z_A + \frac{P_A}{\varpi} + \frac{{V_A}^2}{2g} = Z_B + \frac{P_B}{\varpi} + \frac{{V_B}^2}{2g}$$

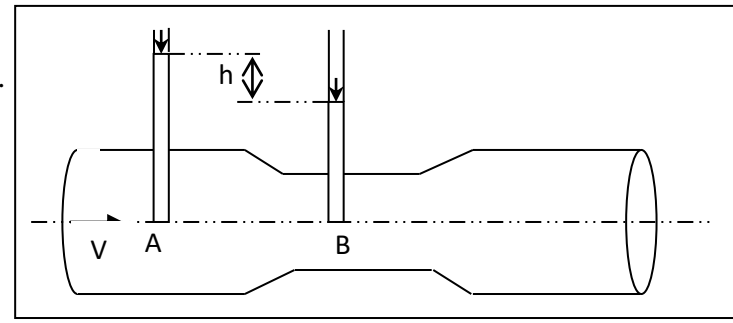


Fig. (II.3): Tube de Venturi

Et on a $Q = V_A S_A = V_B S_B$

La différence de pression aux bornes aux extrémités du tube de Venturi est proportionnelle au carré du débit (Q).

II.2 Hydrodynamique des liquides réels :

L'écoulement d'un liquide réel engendre des forces de frottement dues à la viscosité et à la turbulence, sous ce titre on étudiera les conditions d'équilibre des fluides réels et incompressibles c à d ou les forces de frottement jouent un rôle important.

II.2.2. Equation de l'hydrodynamique des liquides réels "Équation de Navier stokes" :

L'équation générale de la dynamique des liquides réels ou équation de Navier stokes. Elle est valable pour les écoulements laminaires d'un fluide incompressible. L'équation est la sullante :

$$\frac{1}{\rho} \overrightarrow{grad}P + \overrightarrow{F} + \overrightarrow{a} + \nu \nabla^2 \overrightarrow{V}$$
.....II.5

$$\frac{1}{\rho}$$
 grādP: Force de pression

 \vec{F} : Force extérieure (de volume) ou massique.

 \vec{a} : Force d'inertie résultante du mouvement

 $v\nabla^2 \vec{V}$: Force de viscosité.

- Si $v = 0 \Rightarrow$ on trouve l'équation d'Euler pour les liquides parfaits ;
- Si v = 0 et $\vec{a} = 0 \implies$ on trouve l'équation de l'hydrostatique.

Extension du théorème de Bernoulli, pour un cas de liquide réel:

L'équation de Bernoulli s'écrire sous la manière suivante:

$$Z + \frac{P}{\varpi} + \frac{V^2}{2g} + j = Cte = H....IV.6$$

→ Représentation graphique du théorème de Bernoulli pour un liquide réel:

$$Z_1 + \frac{P_1}{\varpi} + \frac{V_1^2}{2g} + j_1 = Z_2 + \frac{P_2}{\varpi} + \frac{V_2^2}{2g} + j_2$$

 $j_2 - j_1$: Représente la perte de charge entre les deux points 1 et 2.

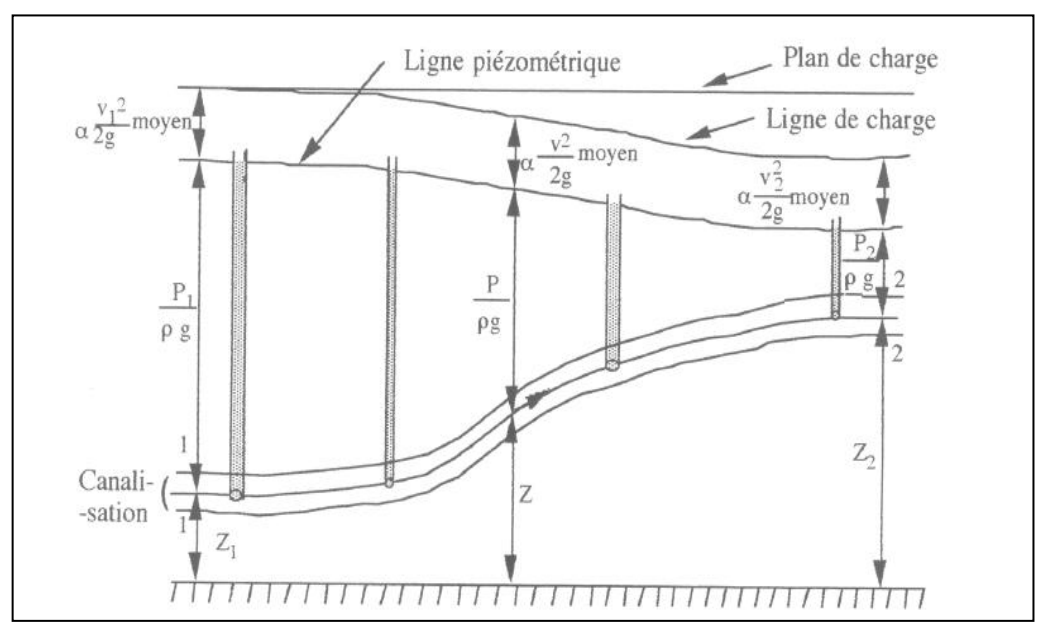


Fig. (II.4): Représentation graphique de l'équation de Bernoulli pour un liquide réel.

20 Dr. Chebbah. L